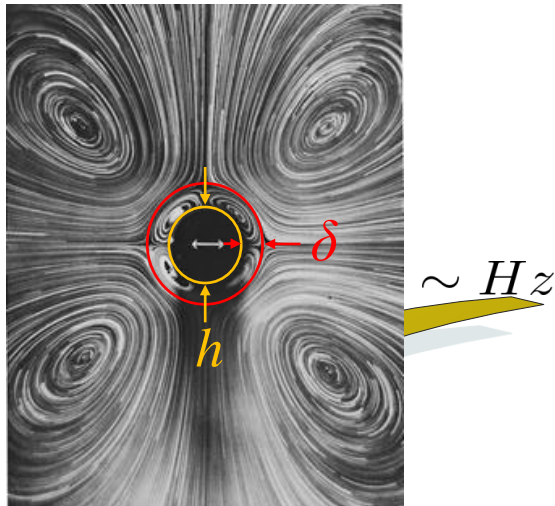


Streaming de couche limite d'un fluide viscoélastique

Seyed-Amir Bahrani, Nicolas Périnet, Maxime Costalonga, Laurent Royon & Philippe Brunet

Origines physiques

Streaming Rayleigh-Schlichting



M. Tatsuno, J. Phys. Soc. Jap. (1973)

Description du problème

Les équations gouvernant le problème présentent deux non linéarités

$$\nabla \cdot \mathbf{v} = 0$$

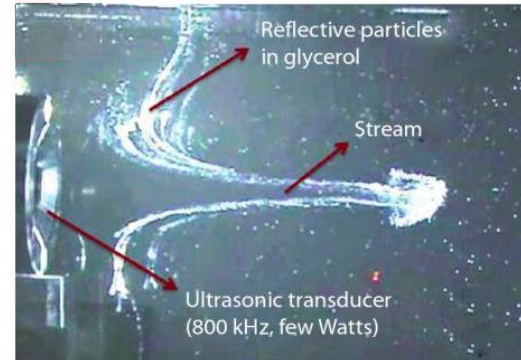
$$\partial_t \mathbf{v} + \underline{(\mathbf{v} \cdot \nabla) \mathbf{v}} = -\nabla P + \underline{\nabla \cdot \boldsymbol{\tau}} \quad \text{avec} \quad \boldsymbol{\tau} = \frac{1}{Re} \mu(\dot{\gamma})$$

Non linéarité
inertielle

Une non linéarité supplémentaire est introduite
via l'équation constitutive

Objectif: Comprendre l'influence de la non-linéarité de la loi
de comportement rhéologique sur le développement du streaming.

Streaming Eckart ou quartz wind

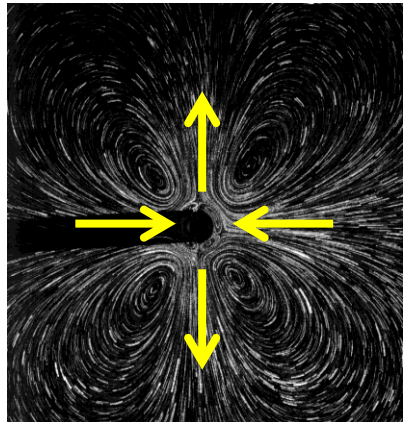


Crédits: V. Bottom et J-M. Lenoir, LMFA (Lyon)

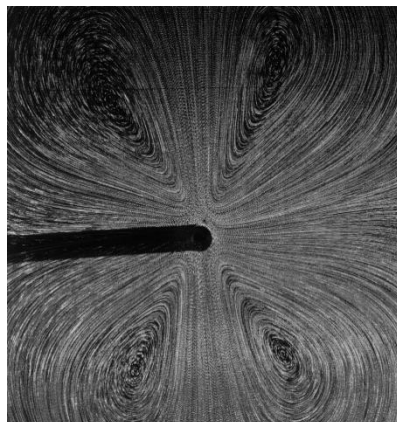
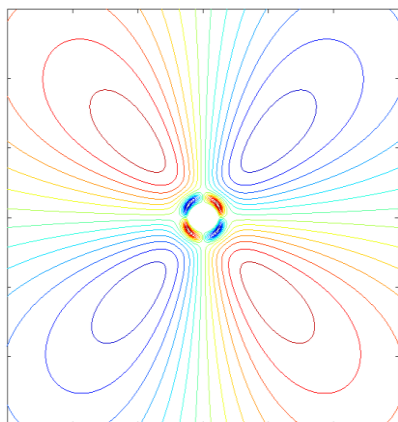


Fluide Newtonien = Huile silicone 10 cp

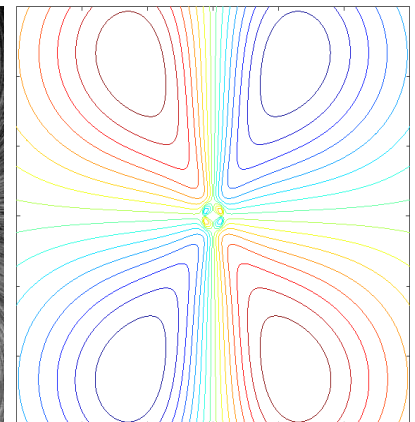
Allongement des vortex dans la direction de la vibration, avec l'augmentation de l'amplitude



$f = 25 \text{ Hz} \& A = 0.88 \text{ mm}$

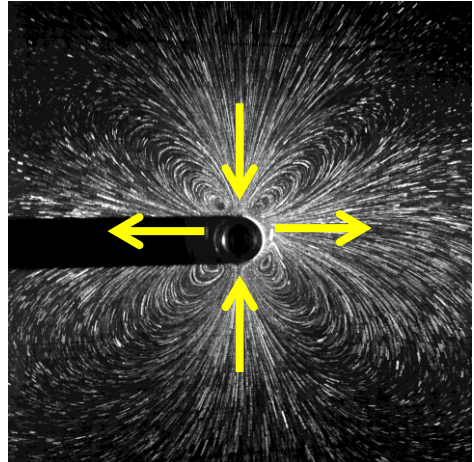


$f = 25 \text{ Hz} \& A = 1.88 \text{ mm}$

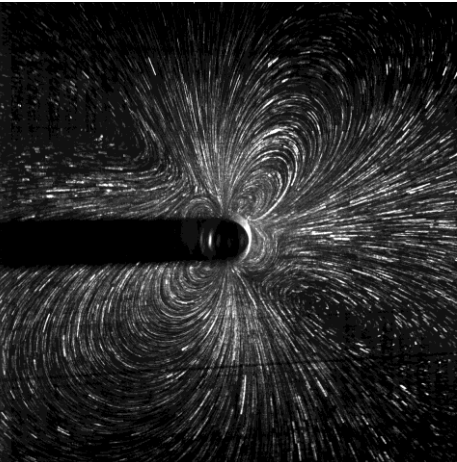


Fluide viscoélastique = PEO 0.3% 30 cp

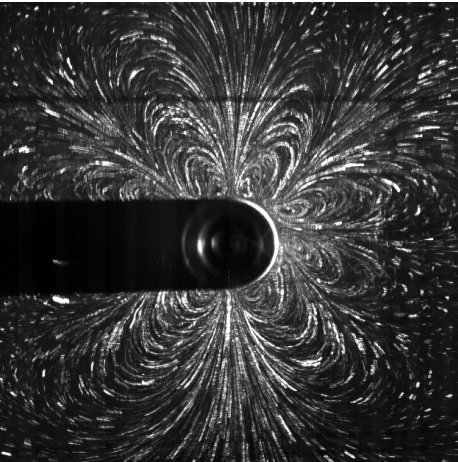
Inversion de sens des vortex et observation d'écoulements de streaming plus complexes ou asymétriques



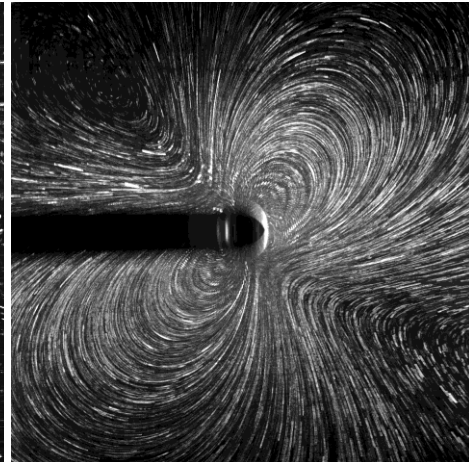
pour $f = 60 \text{ Hz}$



Amplitude ↑



instabilité de forme



Écoulement asymétrique